

九州産業大学
川崎製鉄(株) 構造研
九州産業大学

正会員 崎山正常
正会員 石田昌弘
正会員 ○青柳茂敏

1. まえがき さきに著者らは、
鋼矢板の縫手間隙からの漏水現象について、Dupuit の準一様流の仮定を適用した理論展開を行ない、その結果、縫手間隙を平行とみなした場合の等価間隙を2通り、縫手間隙の平面的長さをも、水中(上流)側の水深を h_1 、大気中(下流)側の水深を h_2 、漏水の動粘性係数を ν および重力の加速度を g とすれば、漏水量 Q との間に

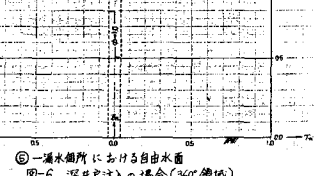
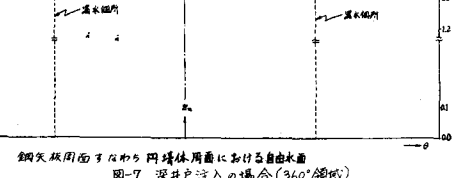
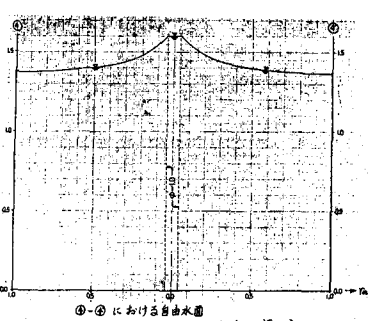
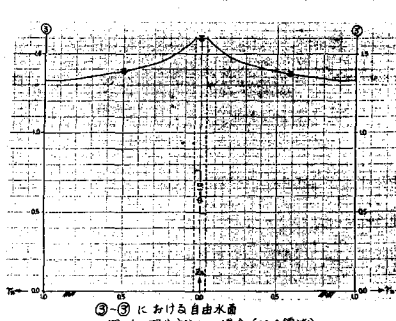
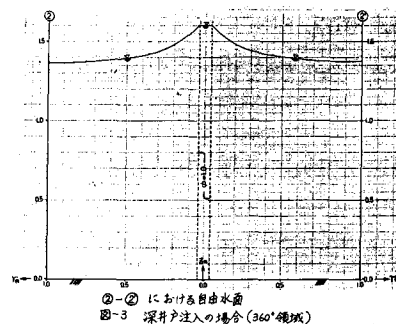
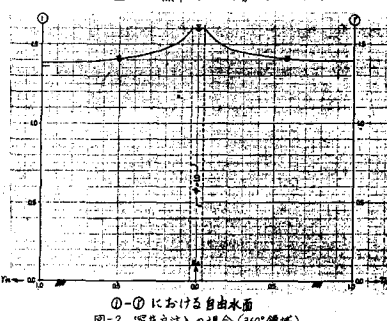
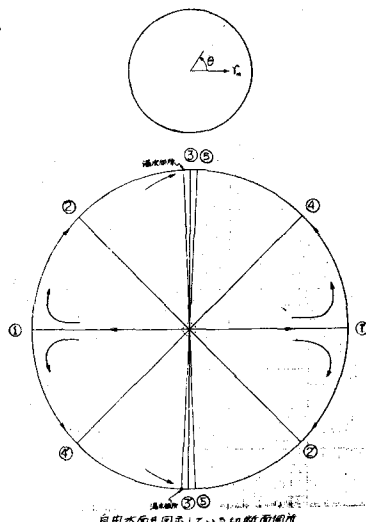
$$Q = \frac{g h_1^3}{3 \nu l} (h_1^2 - h_2^2) \cdots (1)$$

なる関係式を得ており、これが模型実験の結果とよく一致することを述べている¹⁾。

今回は、これと図-1~12に示しているような円形Cellar Cofferdam 内の中心部に設けた注入井戸からの3次元浸透流量とを組合せ、この間の関係について

で考察を行なった。なお、図-1~12に示した円形Cellar Cofferdam の実物は、その直径10m、

地上高さ8mであり、その周辺は鋼矢板(KSP-FA)で構築され、その底面はアスファルトで止水されており、その用途は本研究の他にもいわゆる実物大の振動実験など構造力学的にも活用された。また、水理学的実験のための室内模型の幾何学的縮尺は実物の1/16.6に作成した。



2. 解析 さて、浸透流解析に当って、水理諸量の無次元化を行なうと

$$\gamma_n = \gamma/R, z_n = z/R \dots (2)$$

$$\phi = \{\Psi - k(H-h)\}/(kh) \dots (3)$$

$$V_r = -\partial\phi/\partial r, V_\theta = -\partial\phi/\partial r\theta$$

$$V_z = -\partial\phi/\partial z_n \dots \dots (4)$$

ここに、 γ : 中心からの水平距離

R : Dam の半径、 z : 底

面からの高さ、 Ψ : 速度ポテンシャル、

k : 渗透係数、 H : 井戸水位、 h : 水

位差(図-13 参照)、 θ : 水平方向

の角度(図-1 参照)、 V_r 、 V_θ 、 V_z

: r 、 θ 、 z 方向の無次元流速、

である。ただし z は流れの場の任意点

の水圧強度を P 、水の単位重量を w と

して $\Psi = \gamma_k \{ (P/w) + z \} \dots (5)$

で定義される水理量である。さて、3 次元の Laplace の方程式の半極座標

$$\frac{\partial^2 \phi}{\partial r_n^2} + \frac{1}{r_n} \frac{\partial \phi}{\partial r_n} + \frac{1}{r_n^2} \frac{\partial^2 \phi}{\partial \theta^2} + \frac{\partial^2 \phi}{\partial z_n^2} = 0 \dots \dots (6)$$

そこで上式に差分近似を適用して与えられた境界条件のもとに解析した結果は、図-2～7 やび図-9～12 となる。すなわち各断面の自由水面と等ポテンシャルならびに流線状のものが求められているが、いまこれらについて若干の検討を加えておこう。なおここで流線状というのは、流れを z 方向に変わらない 2 次元流とみると流線といえるわけであるが、3 次元流であるため実際の流線ではないことをさしている。さて、図-2～7 の各自由水面は妥当にえられている。また、図-9～12 に示しているいわゆる流線状の実線から判断して流れは底面に近づくほど速くなっている。このことは井戸の水頭が $H = \text{const.}$ であるのに対して、漏水個所の外側は大気中であることからその動水こう配が底面に近づくほど大きくなっていることから充分理解されよう。なお破線はそれぞれの断面における等ポテンシャル線であり、その上に示した数値はそれぞれの中の値である。これらも妥当にえられていると考える。

3. 考察 さて、このようにして、鋼矢板背面の 3 次元浸透流が解析されればその浸透流量 Q は容易に求められ、これを式(1)の Q に適用すれば式(1)右辺の水理諸量が、その適用限界は考えられるものの、それを評価できることになる。その様子を図-13 に示しており、これらは室内予備実験の結果ほぼ妥当であると言える。講演時までにはさらに資料を整理したい。文献 1) 嶋山・石田・青柳: 鋼矢板背面模型からの漏水について、第 34 回年次講演-V-52.

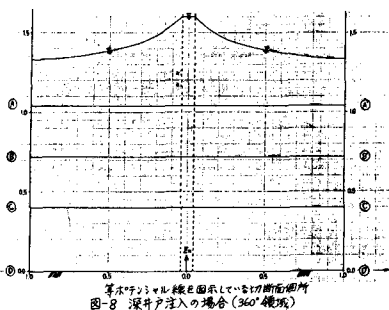
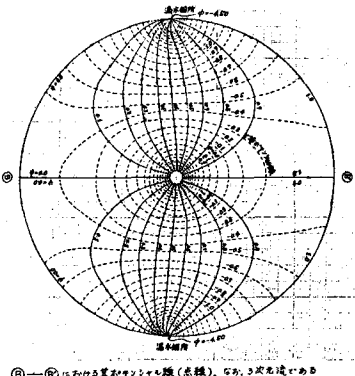
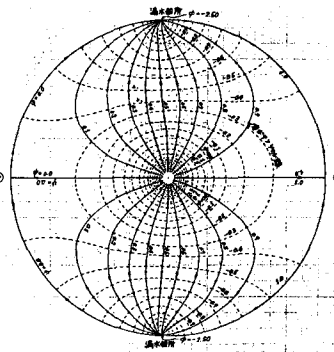


図-8 深井戸注入の場合(360°領域)



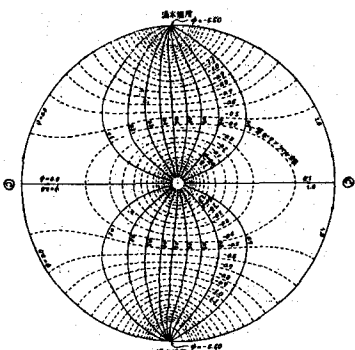
①～⑩にかけた等ポテンシャル線(実線)。なお、3次元流であるため実線は流線ではないが、壁面を0～1とした場合の強度の比である。

図-9 深井戸注入の場合(360°領域)



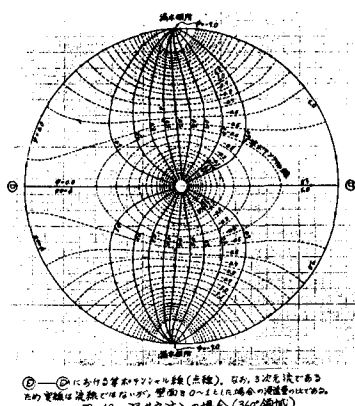
①～⑩にかけた等ポテンシャル線(実線)。なお、3次元流であるため実線は流線ではないが、壁面を0～1とした場合の強度の比である。

図-10 深井戸注入の場合(360°領域)



①～⑩にかけた等ポテンシャル線(実線)。なお、3次元流であるため実線は流線ではないが、壁面を0～1とした場合の強度の比である。

図-11 深井戸注入の場合(360°領域)



①～⑩にかけた等ポテンシャル線(実線)。なお、3次元流であるため実線は流線ではないが、壁面を0～1とした場合の強度の比である。

図-12 深井戸注入の場合(360°領域)

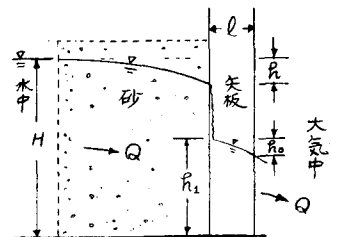


図-13 浸透流に漏水との連続性の様様